## Г. П. ШЕВЧЕНКО, Е. В. ТРЕТЬЯК, М. В. КОРЖИК

# ПОЛУЧЕНИЕ ВЫСОКОПЛОТНОЙ СЦИНТИЛЛЯЦИОННОЙ КЕРАМИКИ

В настоящее время значительно возрос интерес к сцинтилляционным керамическим материалам. Это стимулируется растущими потребностями в усовершенствовании радиологических детекторов в медицине, промышленности и физике высоких энергий. Одним из основных требований, предъявляемых к сцинтилляторам в устройствах медицинской диагностики, в частности, позитронных эмиссионных сканерах, использующих регистрацию у-излучения с энергией 511 КэВ, являются высокие плотность и тормозная способность к ионизирующему излучению. Одним из перспективных материалов в этом отношении является Lu-содержащие материалы [1-3].

В данной статье представлены результаты по формированию высокоплотной сцинтилляционной керамики на основе порошков алюмолютециевого граната (LuAG:Ce), содержащих избыточный  $Lu_2O_3$ , с использованием коллоидно-химических подходов к синтезу.

### МЕТОДИКА ЭКСПЕРИМЕНТА

Образцы LuAG:Се получали по методике, описанной в [4]. Для получения золя  $Lu_2O_3$ ·х $H_2O$  проводили осаждение раствора  $Lu(NO_3)_3$  аммиаком до pH 8,0-8,5. Полученный осадок промывали дистиллированной водой до pH 7,0, к нему добавляли определённое количество воды, содержащей  $HNO_3$  в качестве пептизатора, и обрабатывали ультразвуком до получения опалесцирующего раствора. Концентрация  $Lu_2O_3$  в золе составляла 2,6 %, pH 5,0, размер частиц - в пределах 40-60 нм.

Золь  $Lu_2O_3$ ·х $H_2O$  добавляли непосредственно к золю совместноосаждённых гидроксидов (СОГ) алюминия и лютеция в необходимом массовом отношении и перемешивали в течение 2 часов. Полученные золи СОГ, дополнительно содержащие  $Lu_2O_3$ , оставляли на сутки для лучшего отделения осадков от раствора. После чего осадки выделяли центрифугированием, промывали 2 раза дистиллированной водой и высушивали на воздухе при 60-80 °C в течение суток. Формирующиеся стеклообразные ксерогели тщательно растирали в

агатовой ступке и двухстадийно прогревали на воздухе 2,5 часа при 600 °C и 2,5 часа при 1000 °C. Полученные порошки LuAG:Ce +  $Lu_2O_3$ , диспергировали на планетарной мельнице, затем компактировали и двухстадийно отжигали в вакууме для получения керамики.

Рентгенофазовый анализ полученных образцов проводили на дифрактометре HZG 4A (Carl Zeiss Jena) с использованием  $CuK_{\alpha}$  излучения, а их морфологию и размер определяли по данным сканирующей электронной микроскопии (СЭМ) с помощью микроскопа LEO-1420. Спектры радиолюминесценции (СР) регистрировались на спектрофлуориметре СДЛ-2 при температуре образцов 298 К.

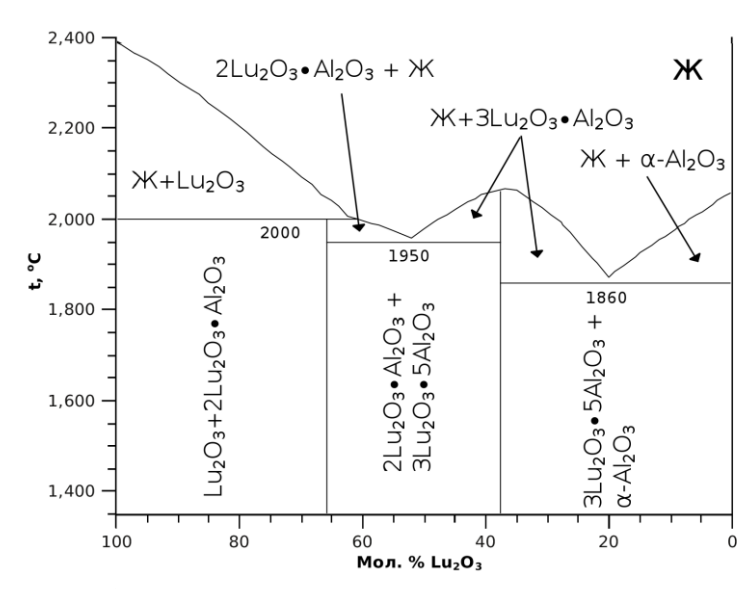
### РЕЗУЛЬТАТЫ И ИХ ОБСУЖДЕНИЕ

**Выбор оксида.** Увеличение плотности керамики является важным этапом, определяющим её сцинтилляционные параметры. Используемые оксиды, выступающие в роли радиатора по отношению к гранату, должны отвечать ряду требований, таких как:

- плотность оксида должна существенно превосходить плотность граната;
- температура плавления оксида должна существенно превышать температуру плавления граната для предотвращения массопередачи и замедления процесса вывода пор из образца во время отжига;
- параметры кристаллической решётки оксида, не должны существенно отличаться от таковых для граната с целью сохранения плотной упаковки и структуры последнего в керамике;
- добавка оксида не должна ухудшать радиолюминесцентные свойства получаемой высокоплотной керамики.

Наиболее перспективным оксидом, удовлетворяющим всем вышеописанным требованиям, является  $Lu_2O_3$ , который характеризуется высокой плотностью (9,4 г/см<sup>3</sup>) и температурой плавления (2370 °C), кубическим типом элементарной ячейки.

На рис.1. представлена диаграмма состояний для системы  $Lu_2O_3$ - $Al_2O_3$  [5], из которой видно, что образование фазы граната состава  $3Lu_2O_3\cdot 5Al_2O_3$ , наблюдается вплоть до мольного соотношения компонентов 1:1. В случае мольного соотношения компонентов  $Lu_2O_3$ :  $Al_2O_3$  превышающего 1, помимо образования фазы граната наблюдается образование перовскитоподобной фазы состава  $2Lu_2O_3\cdot Al_2O_3$ , имеющей узкую область однородности.

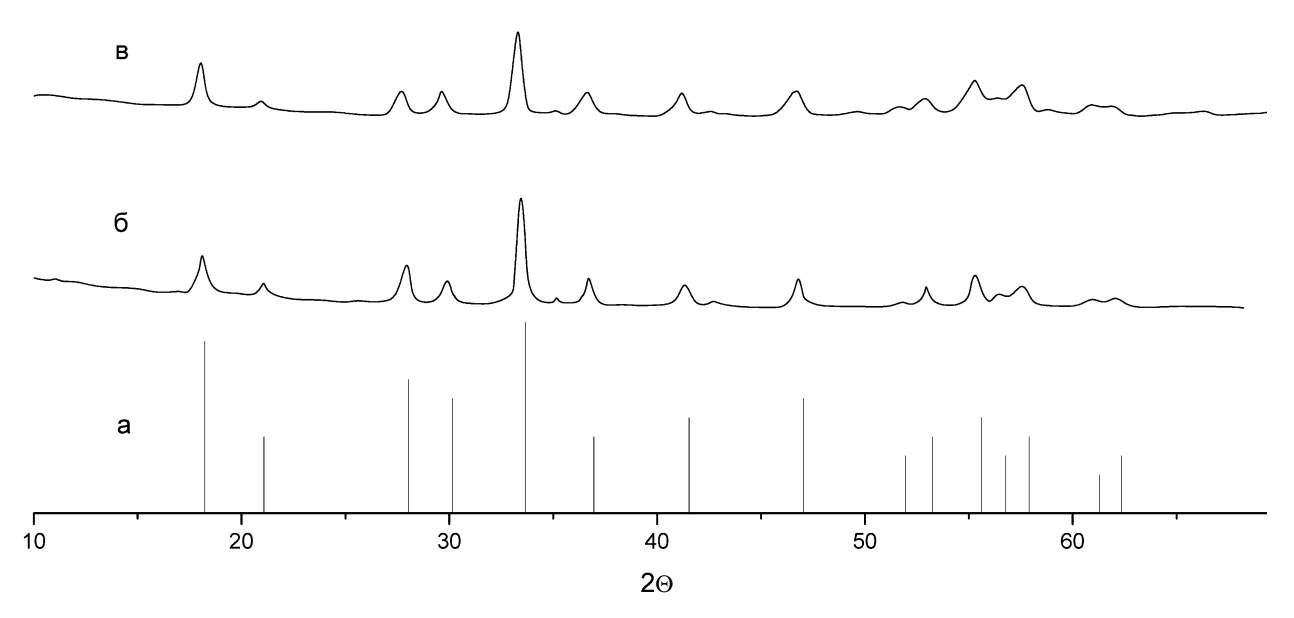


Puc.1. Диаграмма состояния системы  $Lu_2O_3$ - $Al_2O_3$ 

Таким образом, суммарное количество дополнительно вводимого  $Lu_2O_3$  в соответствии с диаграммой состояния системы  $Lu_2O_3$  -  $Al_2O_3$  не должно превышать 31 % по массе по отношению к LuAG. Рассчитано, что использование такого количества  $Lu_2O_3$  позволяет повысить плотность LuAG:Се от 6,44 г/см<sup>3</sup> до 7,35 г/см<sup>3</sup>. С учётом вышесказанного были получены образцы LuAG:Се, дополнительно содержащие 10 % и 30 %  $Lu_2O_3$  по массе, с целью изучения влияния вводимой добавки на структурные и радиолюминесцентные свойства конечного продукта.

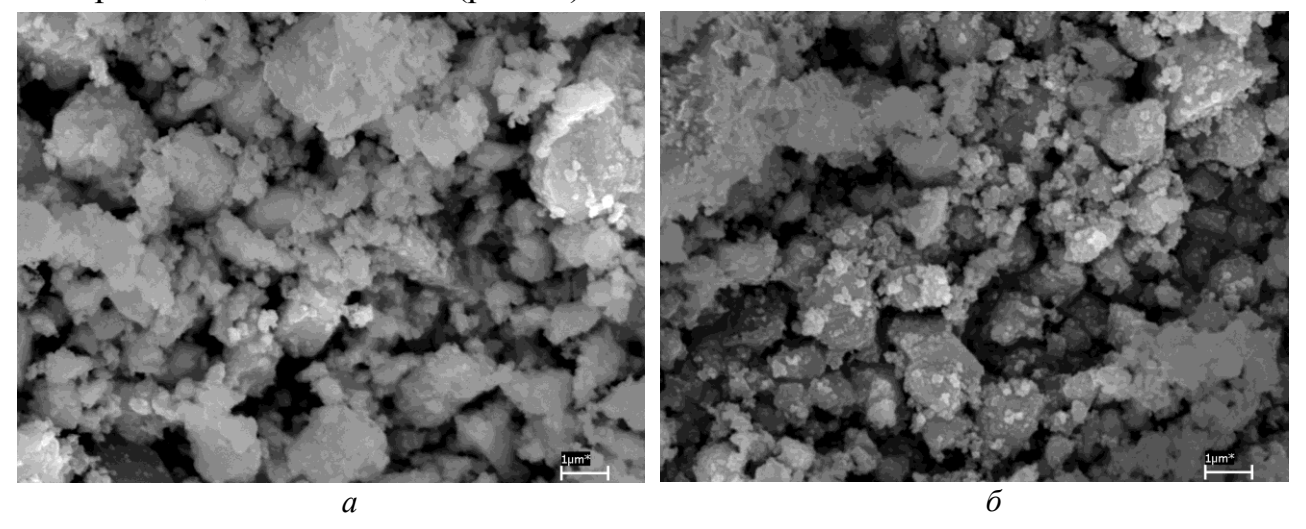
**Рентгенофазовый анализ**. Рентгенограммы порошков алюмолютециевого граната, дополнительно содержащих оксид лютеция, представлены на рис. 2.

двухстадийной термообработки Показано, что после LuAG:Се при 600 °C 2,5 часа и 1000 °C 2 часа на рентгенограммах наблюдаются рефлексы, характерные только для кубической фазы граната [PDF 18-761]. Рефлексы отличаются невысокой интенсивностью уширенностью линий, что свидетельствует слабой закристализованности образца. Количество вводимого оксида указанных пределах не оказывает влияния на пространственную группу решетки LuAG:Ce.



Puc.2. Рентгенограммы порошков LuAG:Се, дополнительно содержащие 10% (б) и 30% (в) оксида лютеция в сравнении с табличными данными для LuAG [PDF 18-761] (а)

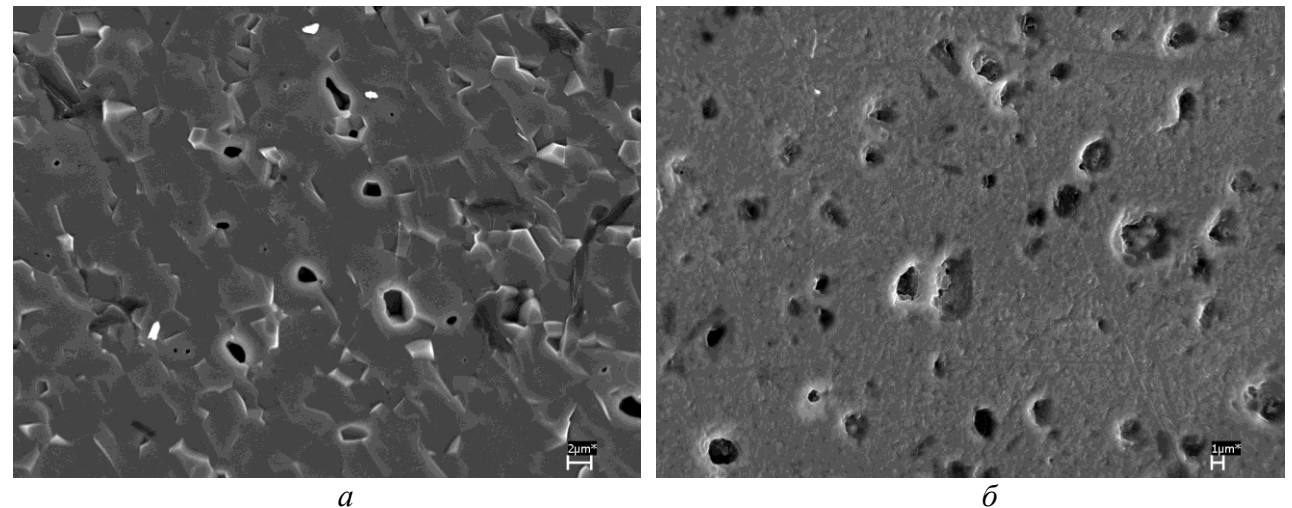
**ЭМ исследование.** Исходные порошки соосажденных гидроксидов алюминия и лютеция, дополнительно содержащие  $Lu_2O_3$ , состоят из агрегатов частиц размерами до 100 нм. Средний размер агрегатов — 5-7 мкм. После термообработки образцов СОГ и дополнительного диспергирования на планетарной мельнице, по данным СЭМ, размер агрегатов уменьшился до 0,2-3 мкм, а размер частиц, образующих агрегаты, не изменяется (рис. 3.).



*Рис.3.* СЭМ снимки порошков LuAG:Се после 12 часов помола на планетарной мельнице, дополнительно содержащие 10 % (a) и 30 % ( $\delta$ ) оксида лютеция по массе

Получение керамики. Для получения керамики порошки гранатов

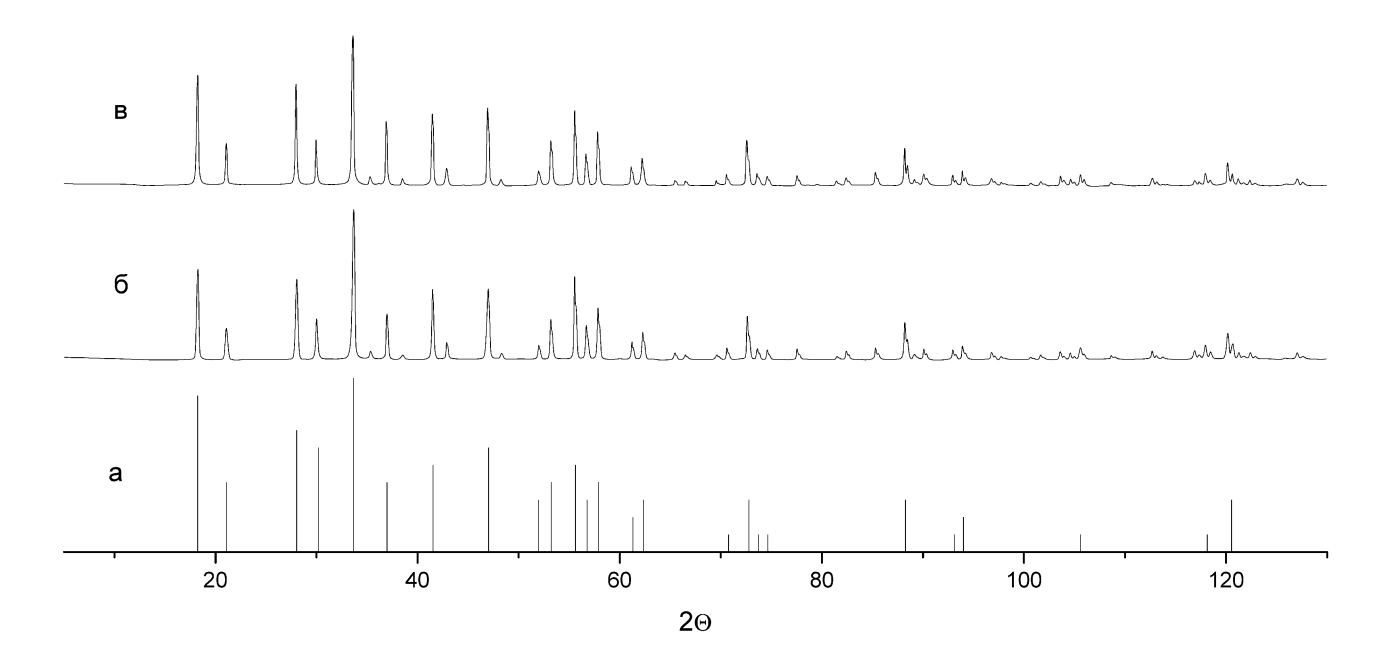
подвергали компактированию методом импульсного прессования до плотности 55 % от теоретической и затем двухстадийно отжигали в вакууме. Электронно-микроскопические изображения полученной керамики представлены на рис. 4.



*Рис. 4.* Электронно-микроскопические изображения керамики на основе LuAG:Се дополнительно содержащей 10% (*a*) и 30% (б) оксида лютеция по массе.

Показано, что для керамики содержащей 10 % оксида лютеция, форма кристаллитов имеет чёткую огранку, характерную для гранатной структуры, а их размер не превышает 4-5 мкм (рис. 4 а). Для керамики, полученной из порошка LuAG:Се, дополнительно содержащего 30 % оксида лютеция, характерен другой структурный мотив. Указанное по-видимому,  $Lu_2O_3$ приводит затуханию фронта количество К частиц перекристаллизации исходных вследствие существенного различия температур плавления LuAG и Lu<sub>2</sub>O<sub>3</sub> (рис. 4,  $\delta$ ). Оба образца имеют поры из-за выхода дефектов на поверхность при термообработке.

На рисунке 5 представлены рентгенограммы полученной керамики.

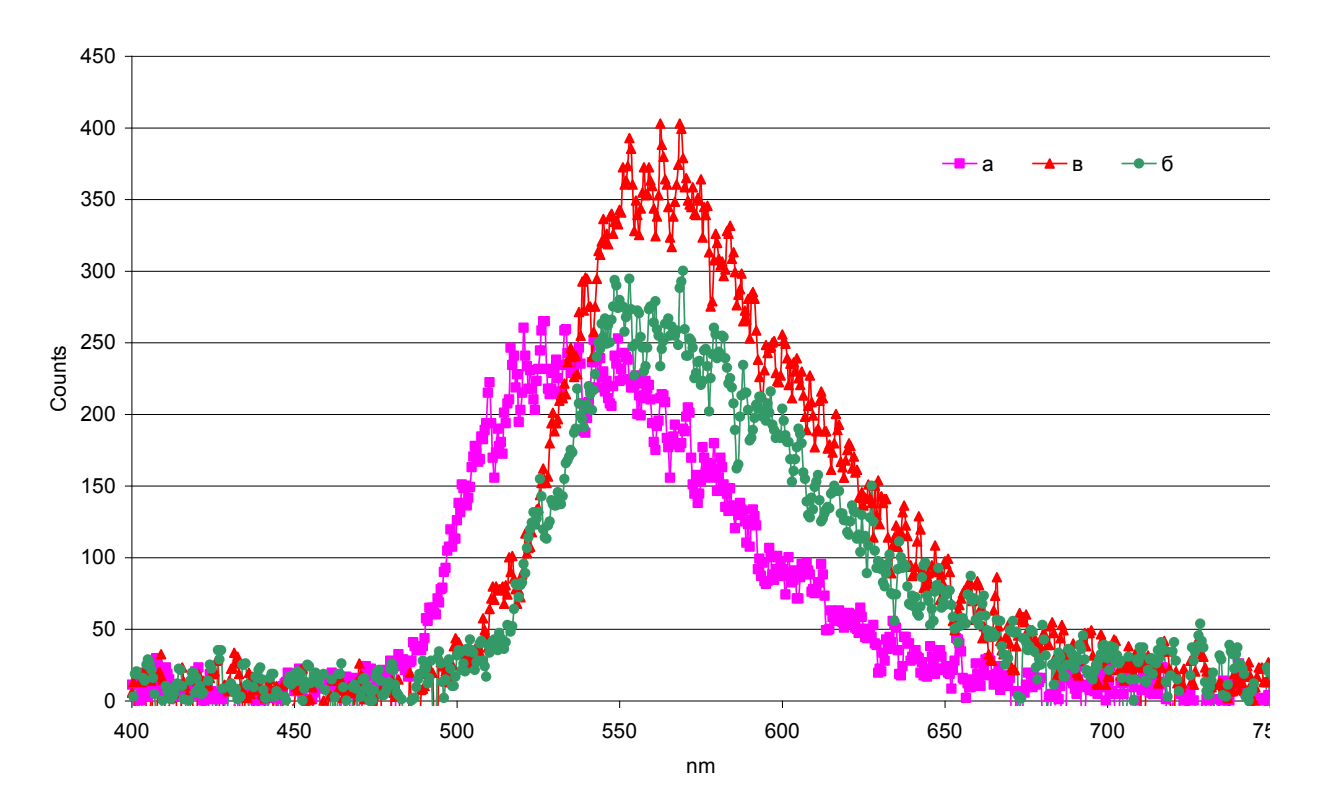


*Puc. 5.* Рентгенограммы алюмолютециевого граната (Lu<sub>3</sub>Al<sub>5</sub>O<sub>12</sub>) [PDF 18-761] (a) и керамики на его основе, дополнительно содержащей 10 % ( $\delta$ ) и 30 % ( $\epsilon$ ) оксида лютеция в сравнении с номинальным составом

Как видно из рентгенограмм, образцы керамики характеризуются наличием только кубической фазы LuAG (фаза  $Lu_2O_3$  отсутствует) и значительно лучшей закристализованностью в сравнении с порошками гранатов (рис. 2).

На основании полученных рентгенографических данных были рассчитаны параметры элементарной ячейки для полученных образцов керамики. Так, для керамики, дополнительно содержащей 10 % оксида лютеция, параметр решётки составил 11,92878±0,001 Å, а для керамики дополнительно содержащей 30 % оксида — 11,92572±0,004 Å, что несколько больше значения 11,912 Å, представленного в [PDF 18-761].

Радиолюминесцентные свойства.



*Рис.* 6. Спектры радиолюминесценции керамики LuAG:Се без добавки оксида (a) и дополнительно содержащей 10 % ( $\delta$ ) и 30 % ( $\epsilon$ ) оксида лютеция

Как видно из представленных спектров радиолюминесценции, для образцов керамики, содержащих добавку оксида лютеция, максимум испускания имеет большую интенсивность и сдвинут в длинноволновую область ( $\lambda$ макс  $\sim 560$  нм) по сравнению с керамикой из LuAG:Се, не содержащей Lu<sub>2</sub>O<sub>3</sub> ( $\lambda$ макс  $\sim 530$  нм), что по-видимому связано с изменением параметра решётки для образцов с Lu<sub>2</sub>O<sub>3</sub>. Этот вопрос требует дополнительного изучения. С увеличением количества Lu<sub>2</sub>O<sub>3</sub> нтенсивность радиолюминесценции возрастает (рис. 6  $\delta$ ,  $\delta$ ), что свидетельствует об увеличении эффективности образца при повышении его плотности.

#### **ЗАКЛЮЧЕНИЕ**

Изучено влияние оксида лютеция в качестве добавки на формирование сцинтилляционной керамики на основе порошков LuAG:Се, сформированных с использованием коллоидно-химических подходов к синтезу. Рассчитано, что добавка  $Lu_2O_3$  не должна превышать 31 % по массе по отношению к LuAG для исключения возможности образования метастабильной перовскитоподобной фазы. Получены образцы

высокоплотной керамики с плотностью близкой к теоретической с хорошо сформированной структурой граната. Увеличение количества  $Lu_2O_3$  от 10 % до 30 % по массе по отношению к LuAG:Се способствует повышению интенсивности радиолюминесценции и смещению её максимума в длинноволновую область.

#### ЛИТЕРАТУРА

- 1. Hui-Li Li, Xue-Jian Liu, Rong-Jun Xie at al. // J. Am. Ceram. Soc., 89[7]. 2006. P. 2356-2358.
- 2. Inorganic Scintillators for Detector Systems. Physical Principles and Crystal Engineering. Series: Particle Acceleration and Detection. Lecoq, P., Annenkov, A., Gektin, A., Korzhik, M., Pedrini, C. 2006, XII, 251 p. 125 illus., Hardcover. ISBN: 3-540-27766-8. Springer, 2006
- 3. M.V. Korzhik, A.A. Fedorov, O.V. Missevitch, V. Mechinski, A. Dossovitski, O. Khasanov, G. Shevchenko. On the development of Heavy and Fast scintillation Nano-Ceramics. Conference Program of IEEE 2008 International Conference, 19-25 October 2008, Dresden Germany. (N69-7)
- 4. Шевченко Г.П., Третьяк Е.В., Прудников А.В., Ивашкевич Л.С., Коржик М.В., Мечинский В.А. // Свиридовские чнения: Сб. ст. Вып. 5. Минск, 2009. С. 138-146.
- 5. Самсонов Г.В., Борисова А.Л., Жидкова Т.Г. и др. // Физико-химические свойства окислов. Справочник. Изд-во «Металлургия», 1978. 472 с.

УДК 541.136

Шевченко Г.П., Третьяк Е.В., Коржик М.В. // Получение высокоплотной сцинтилляционной керамики // Свиридовские чтения: Сб. ст. Вып. 6. Минск, 2010. С.

Изучено влияние оксида лютеция в качестве добавки на формирование сцинтилляционной керамики на основе порошков LuAG:Се, сформированных с использованием коллоидно-химических подходов к синтезу. Получены образцы высокоплотной керамики с плотностью близкой к теоретической с хорошо сформированной структурой граната. Увеличение количества  $Lu_2O_3$  от 10~% до 30~% (вес.) способствует повышению интенсивности радиолюминесценции и смещению её максимума в длинноволновую область.

Shevchenko G.P., Tret'jak E.V., Korzhik M.V. // Obtaining high-density scintillation ceramic // Sviridov readings. Iss. 6. Minsk, 2010. P.

The effect of lutetium oxide as additive on the formation of LuAG:Ce scintillation ceramic formed with the use of colloid-chemical approach to synthesis was studied. There were obtained samples of high-density ceramics with near theoretical density value and well-formed garnet structure. Increase in the Lu<sub>2</sub>O<sub>3</sub> content from 10 to 30 wt % results in the enhancement furthers increase of radioluminescence intensity and its peak displacement to a long-wave region.